

Systemes complexes

Théorie des perturbations et modélisation: quelques exemples
Journée LMCS 2008
EDF-RD, Chatou

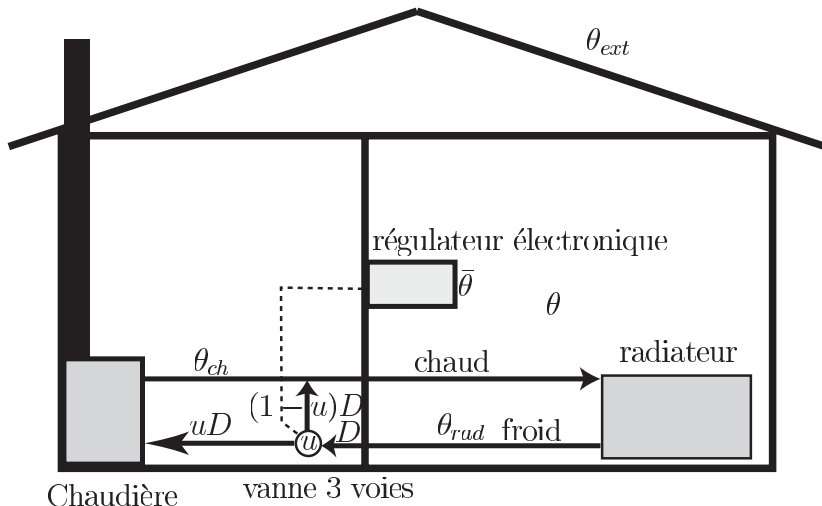
Pierre Rouchon

Centre Automatique et Systemes
École Nationale Supérieure des Mines de Paris
pierre.rouchon@ensmp.fr

17 avril 2008

- 1 Système plan, Poincaré/Bendixon et régulateur PI
- 2 Robustesse et systèmes multi-échelles
- 3 Cascade de régulateurs
- 4 Systèmes oscillants, moyennisation et PLL

Un premier exemple : PI et thermostat



Régulateur **proportionnel intégral (PI)** de la **température** $y = \theta$ à sa **consigne** $v = \bar{\theta}$ avec une vanne $u \in [0, 1]$, le **contrôle**.

Régulateur Proportionnel-Intégral (PI) avec prise en compte de la contrainte $u \in [0, 1]$ et anti-emballement du terme intégral (anti-windup)

- PI en temps discret :

$$u_{k+1} = S^{\text{at}}(K_p(\bar{\theta} - \theta_k) + I_k)$$

$$I_{k+1} = I_k + \Delta t [K_i(\bar{\theta} - \theta_k) + K_s(u_{k+1} - K_p(\bar{\theta} - \theta_k) - I_k)]$$

où $S^{\text{at}}(u) = \max[0, \min(1, u)]$.

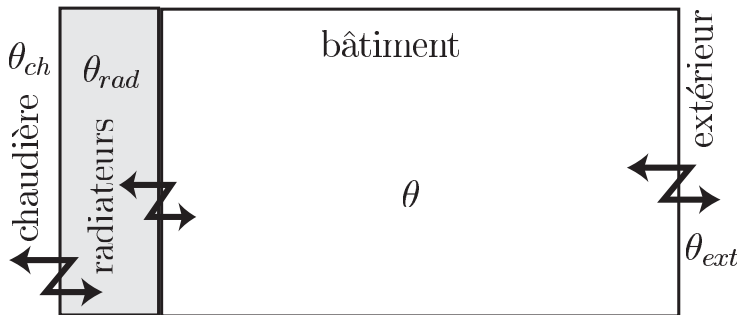
- PI en temps continu : avec $\frac{d}{dt}I|_k \approx \frac{I_{k+1} - I_k}{\Delta t}$, on obtient la version continue

$$u(t) = S^{\text{at}}(K_p(\bar{\theta} - \theta(t)) + I(t))$$

$$\frac{d}{dt}I(t) = K_i(\bar{\theta} - \theta(t)) + K_s(u(t) - K_p(\bar{\theta} - \theta(t)) - I(t))$$

Sans saturation ($S^{\text{at}} = I$) et avec l'erreur $e = \bar{\theta} - \theta$, $u = K_p e + I$, $\frac{d}{dt}I = K_i e$ et on retrouve la **formule usuelle du correcteur PI**

$$u = K_p e + K_i \int e = \left(K_p + \frac{K_i}{s} \right) e \quad \text{où } \frac{d}{dt} \equiv s.$$



Modèle thermique **simplifié** fondé sur les **lois de conservation**

$$MC_p \frac{d}{dt} \theta = \Lambda_{rad} (\theta_{rad} - \theta) + \Lambda_{ext} (\theta_{ext} - \theta)$$

$$u\Lambda (\theta_{ch} - \theta_{rad}) = \Lambda_{rad} (\theta_{rad} - \theta) \quad \text{soit} \quad \theta_{rad} = \frac{\Lambda_{rad} \theta + u\Lambda \theta_{ch}}{\Lambda_{rad} + u\Lambda}$$

Ainsi $\frac{d}{dt} \theta$ est une fonction de u, θ, θ_{ext} (θ_{ch} supposée constante ici).

Boucle ouverte et boucle fermée

Avec $x = \theta$ et le contrôle u , la perturbation $w = \theta_{ext}$

- Le système en boucle ouverte

$$\frac{d}{dt}x = f(x, u, w), \quad x \in \mathbb{R}, \quad u \in [u^{\min}, u^{\max}]$$

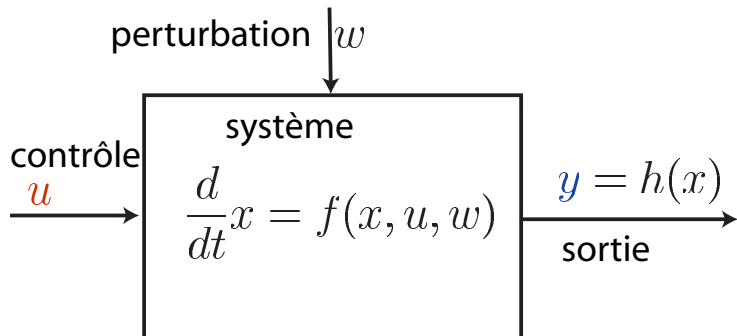
avec comme seules hypothèses : $\frac{\partial f}{\partial x} \leq 0$ et $\frac{\partial f}{\partial u} > 0$

- Le système en boucle fermée avec régulateur PI ($K_p, K_i > 0$ et $K_s K_p > K_i$) et sa consigne \bar{x} :

$$\frac{d}{dt}x = f(x, \text{Sat}[K_p(\bar{x} - x) + I], w)$$

$$\frac{d}{dt}I = K_i(\bar{x} - x) + K_s(\text{Sat}[K_p(\bar{x} - x) + I] - K_p(\bar{x} - x) - I)$$

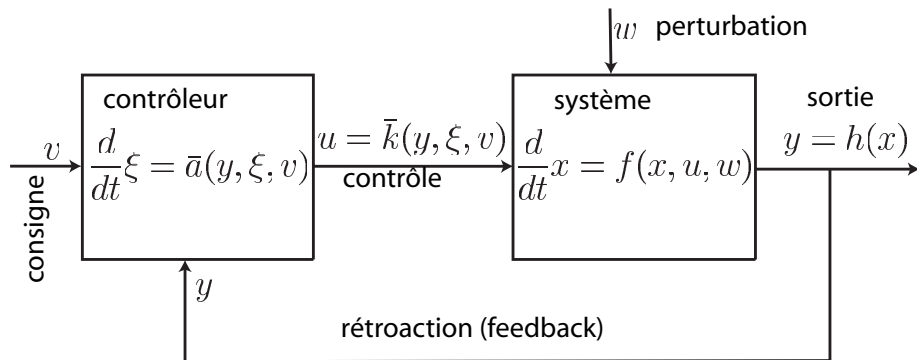
Schéma bloc de la boucle ouverte



Pour le bâtiment

$$u \in [0, 1], \quad x = \theta, \quad y = \theta \quad w = \theta^{ext}$$

Schéma bloc de la boucle fermée



Pour le **bâtiment** avec le **régulateur PI** :

$$v = \bar{\theta}, \quad \xi = I, \quad \bar{k} = \mathcal{S}^{\text{at}} [K_p(\bar{\theta} - \theta) + I], \quad x = \theta, \quad y = \theta, \quad w = \theta^{\text{ext}},$$
$$\bar{a} = K_i(\bar{\theta} - \theta) + K_s (\mathcal{S}^{\text{at}} [K_p(\bar{\theta} - \theta) + I] - K_p(\bar{\theta} - \theta) - I)$$

Stabilité en boucle fermée : énoncé qualitatif.

Quelle que soit la condition initiale $\theta(0)$, la température $\theta(t)$ *converge asymptotiquement* pour t tendant vers $+\infty$ vers le point d'équilibre de consigne $\bar{\theta}$ *librement choisi par l'utilisateur* (si $\bar{\theta}$ est physiquement réalisable, compte tenu des contraintes sur u et de la *température extérieure* θ^{ext} supposée constante).

La formalisation précise de ce résultat s'appuie sur

- les *équations différentielles ordinaires* (EDO) et la théorie des systèmes dynamiques.
- théorie de Poincaré-Bendixon : *pas de chaos* pour des EDO autonomes dans le plan.

Stabilité en boucle fermée : énoncé précis

Soit le système du premier ordre non-linéaire $\frac{d}{dt}x = f(x, u)$ avec, f continue, dérivable par morceau vérifiant $\frac{\partial f}{\partial x}(x, u) \leq 0$, $\frac{\partial f}{\partial u}(x, u) > 0$ pour tout avec $(x, u) \in \mathbb{R} \times [u^{\min}, u^{\max}]$. Soit le régulateur PI avec anti-emballement de consigne $\bar{x} \in \mathbb{R} : u = \mathcal{S}^{\text{at}} [K_p(\bar{x} - x) + I]$, $\frac{d}{dt}I = K_i(\bar{x} - x) + K_s(u - K_p(\bar{x} - x) - I)$ avec $K_p, K_i > 0$, $K_s K_p > K_i$ et $\mathcal{S}^{\text{at}}(v) = \max(u^{\min}, \min(u^{\max}, v))$. Alors on a les deux cas suivants :

- **soit** il existe $\bar{u} \in]u^{\min}, u^{\max}[$ tel que $f(\bar{x}, \bar{u}) = 0$ et alors l'équilibre $(x, I) = (\bar{x}, \bar{u})$ du système bouclé est unique et globalement asymptotiquement stable au sens de Lyapounov
- **sinon : soit** $\forall v \in [u^{\min}, u^{\max}]$, $f(\bar{x}, v) < 0$ (resp > 0) alors $\lim_{t \rightarrow +\infty} u(t) = u^{\max}$ (resp u^{\min}) et $\lim_{t \rightarrow +\infty} x(t)$ existe, est éventuellement infinie dans $[-\infty, \bar{x}[$ (resp. $], +\infty]$);
soit $f(\bar{x}, u^{\max}) = 0$ (resp. $f(\bar{x}, u^{\min}) = 0$) alors $\lim_{t \rightarrow +\infty} u(t) = u^{\max}$ (resp. u^{\min}) et $\lim_{t \rightarrow +\infty} x(t)$ existe, est finie dans $] - \infty, \bar{x}[$ (resp. $], +\infty[$)

Thermostat : le linéaire tangent est toujours stable

Pour (θ, I) autour de l'équilibre $(\bar{\theta}, \bar{I} = \bar{u})$, le **système bouclé** s'écrit (saturation non active)

$$\begin{aligned}\frac{d}{dt}\theta &= f(\theta, K_p(\bar{\theta} - \theta) + I) \\ \frac{d}{dt}I &= K_i(\bar{\theta} - \theta)\end{aligned}$$

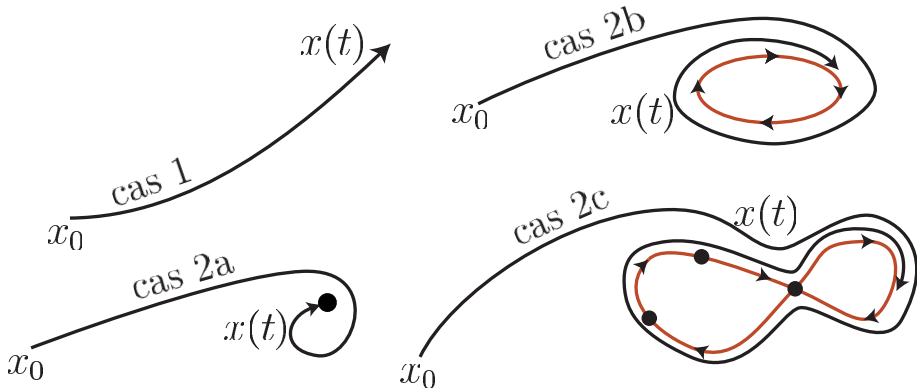
Matrice Jacobienne du linéaire tangent :

$$\begin{pmatrix} \left. \frac{\partial f}{\partial \theta} \right|_{(\bar{\theta}, \bar{u})} - K_p \left. \frac{\partial f}{\partial u} \right|_{(\bar{\theta}, \bar{u})} & \left. \frac{\partial f}{\partial u} \right|_{(\bar{\theta}, \bar{u})} \\ -K_i & 0 \end{pmatrix}.$$

La trace de cette matrice 2×2 est strictement négative car $\frac{\partial f}{\partial \theta} \leq 0$ et $\frac{\partial f}{\partial u} > 0$ par hypothèse et les gains K_p, K_i sont > 0 . Son déterminant est strictement positif pour les mêmes raisons. Donc ses deux valeurs propres sont à partie réelle strictement négative. **Ainsi, pour tous $K_p > 0$ et $K_i > 0$, le linéaire tangent est toujours stable** et donc le non-linéaire est localement asymptotiquement stable.

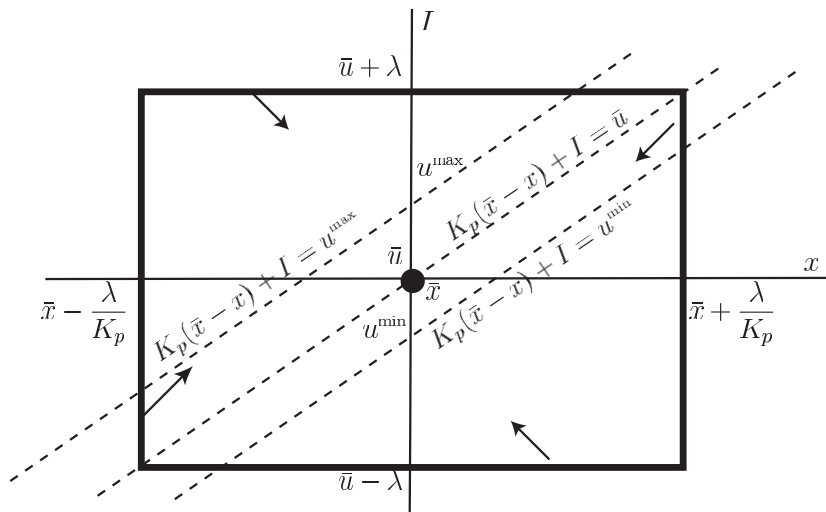
Pas de chaos dans le plan (thèse de Poincaré)

Les **quatre comportements asymptotiques** possibles pour une trajectoire d'un système dynamique autonome défini dans le plan :



La **divergence** $\frac{\partial f}{\partial x} - K_p \frac{\partial f}{\partial u} (S^{at})' + K_s ((S^{at})' - 1)$ est **négative** et on a un **seul point** d'équilibre : reste uniquement le cas 2a.

Les trajectoires sont bornées ($K_s K_p > K_i$)



Le rectangle R_λ est **positivement invariant** car le champ de vecteurs définissant la dynamique **pointe vers l'intérieur** de R_λ

- Le champ de vecteurs $x = (\theta, I)$

$$\vec{v}(x) = \begin{pmatrix} f(\theta, \mathcal{S}^{\text{at}} [K_p(\bar{\theta} - \theta) + I]) \\ K_i(\bar{\theta} - \theta) + K_s(\mathcal{S}^{\text{at}} [K_p(\bar{\theta} - \theta) + I] - K_p(\bar{\theta} - \theta) - I) \end{pmatrix}$$

est à **divergence strictement négative**.

- S'il y avait une orbite périodique englobant un domaine Ω d'aire non nulle, on aurait une contradiction car

$$0 > \int \int_{\Omega} \text{div} \vec{v} = \oint_{\partial\Omega} \vec{v} \cdot \vec{n} \, ds = 0$$

où \vec{n} est la normale extérieure à Ω ($\vec{n} \cdot \vec{v} = 0$ sur $\partial\Omega$, le bord du domaine $\partial\Omega$ est l'orbite périodique).

- Unicité du point d'équilibre.

Théorème (Critère de Bendixon)

Soit

$$\mathbb{R}^2 \ni x \mapsto v(x) \in \mathbb{R}^2$$

une fonction continue et dérivable. On suppose que

$$\operatorname{div}(v)(x) = \frac{\partial v_1}{\partial x_1}(x) + \frac{\partial v_2}{\partial x_2}(x) < 0$$

pour presque tout $x \in \mathbb{R}^2$.

Soit $t \mapsto x(t)$ une solution de $\frac{d}{dt}x = v(x)$ qui reste bornée pour les temps t positifs. Alors, sa limite quand t tend vers $+\infty$ est un point d'équilibre, i.e., une solution $\bar{x} \in \mathbb{R}^2$ de $v(\bar{x}) = 0$.

- Système dépendant d'un paramètre ε :

$$\frac{d}{dt}x = v(x, \varepsilon) \quad (\Sigma^\varepsilon)$$

- **Hypothèses sur (Σ^0)** : \bar{x}_0 équilibre, $v(\bar{x}_0, 0) = 0$, et les parties réelles des valeurs propres de $\left[\left(\frac{\partial v_i}{\partial x_j} \right)_{(\bar{x}_0, 0)} \right]$ sont strictement négatives.
- **Conclusion sur (Σ^ε)** : il existe $\eta > 0$, tel pour tout $\varepsilon \in [-\eta, +\eta]$, le système régulièrement perturbé (Σ^ε) admet un point d'équilibre $\bar{x}(\varepsilon)$ qui dépend régulièrement de ε ($v(\bar{x}(\varepsilon), \varepsilon) = 0$), qui est hyperboliquement stable (local) et $\bar{x}(0) = \bar{x}_0$.

En bref : La stabilité hyperbolique de Σ_0 implique celle de Σ_ε . La preuve : fonctions implicites, les valeurs propres d'une matrice dépendent continûment de ses coefficients.

Exemple du PI sur le premier ordre avec dynamique rapide de **actionneur** (u^m) ($\varepsilon > 0$ petit) :

$$\left\{ \begin{array}{l} \frac{d}{dt}\theta(t) = f(\theta, u^m) \\ \frac{d}{dt}I(t) = K_i(\bar{\theta} - \theta(t)) + K_s(u(t) - K_p(\bar{\theta} - \theta^m(t)) - I(t)) \\ u(t) = \mathcal{S}^{\text{at}}(K_p(\bar{\theta} - \theta(t)) + I(t)) \\ \varepsilon \frac{d}{dt}u^m(t) = u(t) - u^m(t) \end{array} \right. \quad \text{En transfert : } u^m = \frac{1}{1+\varepsilon s} u \text{ avec } s = d/dt. \quad (1)$$

En posant $x = (\theta, I)$ et $z = u^m$, on a

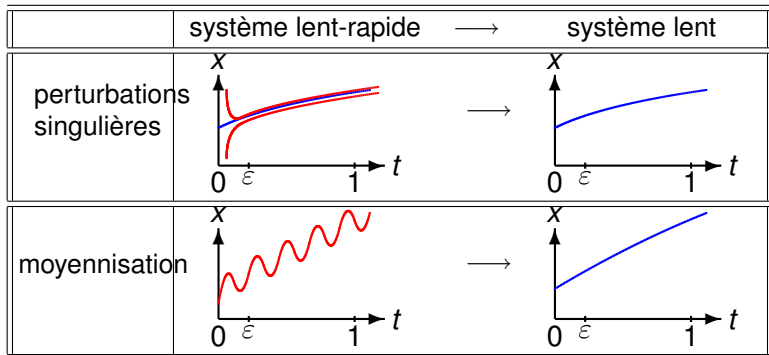
$$\frac{d}{dt}x = f(x, z, \varepsilon), \quad \varepsilon \frac{d}{dt}z = g(x, z, \varepsilon) \quad (\Sigma^\varepsilon)$$

alors que le modèle de contrôle correspond à $\varepsilon = 0$

$$\frac{d}{dt}x = f(x, z, 0), \quad 0 = g(x, z, 0) \quad (\Sigma^0)$$

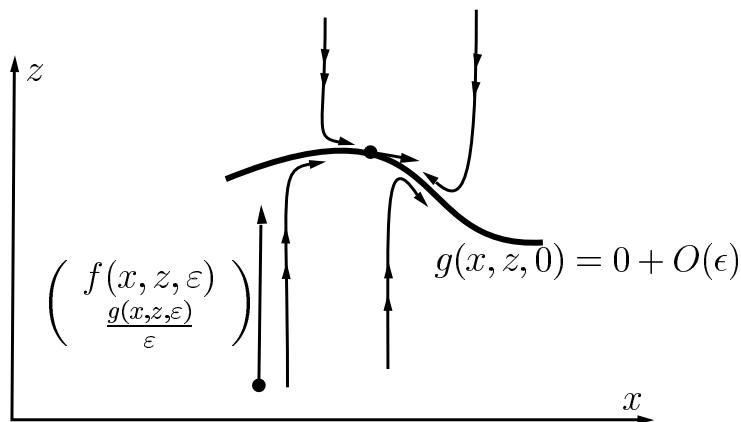
- On élabore le contrôle sur le modèle approché (Σ^0), dit **modèle de contrôle** : le système bouclé (Σ_b^0) est hyperboliquement stable (planification et suivi de trajectoires, linéaire quadratique, observateur/contrôleur). Le **modèle de simulation sera alors** (Σ_b^ε)
- Robustesse : pour $\varepsilon > 0$ assez petit, le **système bouclé perturbé** (Σ_b^ε) est aussi hyperboliquement stable (théorie des perturbations régulières et singulières)
- **Marge de robustesse** : la **valeur critique** ε^* de ε , à partir de laquelle le système bouclé (Σ_b^ε) devient instable. Dans le cas linéaire stationnaire, on a une idée de ε^* avec les **marges de gain et de retard** (marge de phase) obtenues via les **diagrammes de Nyquist et de Bode**. Dans les autres cas (linéaire instationnaire, non linéaire, ...) on effectue des simulations en boucle fermée (facile) et/ou des études de bifurcation (nettement plus difficile).

Systèmes multi-échelles et théorie des perturbations



On **élimine les effets à court terme**, $t \sim \varepsilon$, qu'ils soient hyperboliquement stables ou oscillants, pour ne conserver que **les effets à long terme**, $t \sim 1$ ($0 < \varepsilon \ll 1$)

Forme normale de Tikhonov



$$(\Sigma^\epsilon) \begin{cases} \frac{dx}{dt} = f(x, z, \epsilon) \\ \epsilon \frac{dz}{dt} = g(x, z, \epsilon) \end{cases}$$

avec $x \in \mathbb{R}^n$, $z \in \mathbb{R}^p$,
 $0 < \epsilon \ll 1$ un petit paramètre,
 f et g des fonctions régulières.

Condition pour que $\Sigma_\varepsilon \approx \Sigma_0$.

Pour $0 < \varepsilon \ll 1$, l'approximation de

$$(\Sigma^\varepsilon) \begin{cases} \frac{dx}{dt} = f(x, z, \varepsilon) \\ \varepsilon \frac{dz}{dt} = g(x, z, \varepsilon) \end{cases} \quad \text{par} \quad (\Sigma^0) \begin{cases} \frac{dx}{dt} = f(x, z, 0) \\ 0 = g(x, z, 0) \end{cases}$$

est justifiée (voir énoncé précis dans le poly) dès que l'équation $g(x, z, 0) = 0$ admet une solution, $z = \rho(x)$, avec ρ fonction régulière de x et dès que $\frac{\partial g}{\partial z}(x, \rho(x), 0)$ est une matrice dont toutes les valeurs propres sont à parties réelles strictement négatives.

Le **modèle réduit** est alors $\frac{d}{dt}x = f(x, \rho(x), 0)$

- On part de

$$(\Sigma^\varepsilon) \begin{cases} \frac{dx}{dt} = f(x, z, \varepsilon) \\ \varepsilon \frac{dz}{dt} = g(x, z, \varepsilon) \end{cases} \quad \begin{array}{l} \text{avec } g(x, \rho(x), 0) = 0 \\ \frac{\partial g}{\partial z}(x, \rho(x), 0) \text{ matrice stable} \\ \text{et } 0 < \varepsilon \ll 1. \end{array}$$

- On suppose en plus que système lent $\frac{d}{dt}x = f(x, \rho(x), 0)$ admet un point d'équilibre $\bar{x} : f(\bar{x}, \rho(\bar{x}), 0) = 0$ avec la matrice $\left[\frac{\partial f}{\partial x} + \frac{\partial f}{\partial z} \cdot \frac{\partial \rho}{\partial x} \right]_{(\bar{x}, \rho(\bar{x}), 0)}$ stable.
- Alors, pour tout $\varepsilon > 0$ assez proche de 0, le système perturbé (Σ^ε) admet un point d'équilibre proche de $(\bar{x}, \rho(\bar{x}))$ et dont le linéaire tangent est asymptotiquement stable (stabilité hyperbolique)

En bref : ici encore la stabilité hyperbolique de Σ_0 implique celle de Σ_ε .

Robustesse du PI et choix des gains K_p et K_i .

Le PI sur le premier ordre avec dynamiques de l'actionneur :

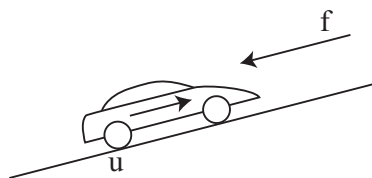
$$(\Sigma^\varepsilon) \begin{cases} \frac{d}{dt}\theta(t) &= f(\theta, u^m) \\ \frac{d}{dt}I(t) &= K_i(\bar{\theta} - \theta(t)) + K_s(u(t) - K_p(\bar{\theta} - \theta(t)) - I(t)) \\ \varepsilon \frac{d}{dt}u^m(t) &= u(t) - u^m(t) \\ u(t) &= \mathcal{S}^{\text{at}}(K_p(\bar{\theta} - \theta(t)) + I(t)). \end{cases}$$

est sous forme standard avec $X = (\theta, I)$ et $Z = u^m$. La dynamique lente est hyperboliquement stable. Donc l'équilibre en $\theta = \bar{\theta}$ de (Σ^ε) est aussi hyperboliquement stable dès que $0 < \varepsilon \ll 1$, c'est à dire, dès que

$$\varepsilon K_p \frac{\partial f}{\partial u} \ll 1, \quad \varepsilon \frac{K_i}{K_p} \frac{\partial f}{\partial u} \ll 1, \quad \varepsilon K_s \ll 1$$

Il ne faut pas choisir K_p , K_i et K_s trop grands pour ne pas exciter les dynamiques négligées.

Cascade de PI sur un second ordre non-linéaire



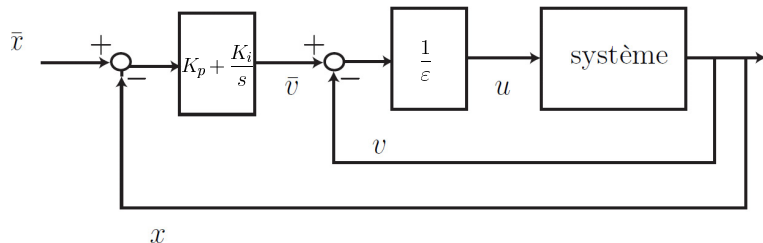
$$\text{Newton : } \frac{d^2}{dt^2}x = f(x, \frac{d}{dt}x) + u$$

Problème : "cruise-control" avec **f mal connue**, asservir la position à \bar{x} , une seule commande u pour deux états $(x, \frac{d}{dt}x)^T$.

Solution : on se ramène à deux systèmes du premier ordre avec une cascade de deux régulateurs.

- un **régulateur en vitesse "esclave" rapide** dont la consigne est fixée par le régulateur "maître".
- un **régulateur en position "maître" lent** qui définit la consigne de vitesse pour le régulateur "esclave".

Cascade de deux régulateurs



- 1 Régulateur esclave P, $u = \frac{\bar{v}-v}{\epsilon}$, avec $0 < \epsilon \ll 1$, assure la convergence rapide de la vitesse $v = \frac{d}{dt}x$ vers une consigne \bar{v} lentement variable.
- 2 Régulateur maître PI ($K_p, K_i > 0$)

$$\bar{v} = K_p(\bar{x} - x) + I, \quad \frac{d}{dt}I = K_i(\bar{x} - x)$$

stabilise la position x à \bar{x} et fournit la consigne lentement variable \bar{v} au régulateur rapide précédent.

Voir la simulation Scilab/Sicos : [CascadePI.cos](#) avec la prise en compte dans le feedback des contraintes sur l'état v et sur le contrôle u .

Moyennisation à une fréquence ($0 \leq \varepsilon \ll 1$)

Considérons le système perturbé

$$\frac{dx}{dt} = \varepsilon f(x, t, \varepsilon)$$

avec f régulière et de période T par rapport à t . Il existe un changement de variables

$$x = z + \varepsilon w(z, t)$$

avec w de période T en t , tel que

$$\frac{dz}{dt} = \varepsilon \bar{f}(z) + \varepsilon^2 f_1(z, t, \varepsilon)$$

avec

$$\bar{f}(z) = \frac{1}{T} \int_0^T f(z, t, 0) dt$$

et f_1 régulière de période T en t .

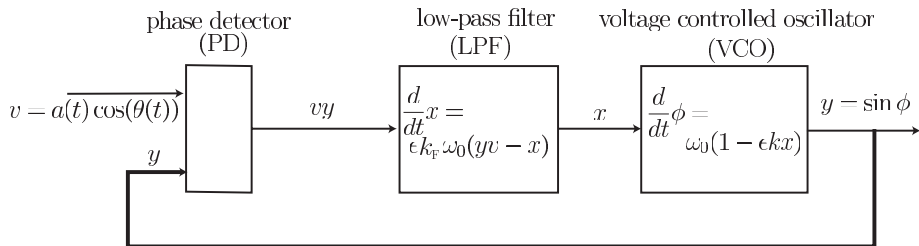
Le système moyen (modèle réduit) est alors $\frac{dz}{dt} = \bar{f}(z)$. Ici z est proche de x .

Moyennisation à une fréquence (fin)

- Si $x(t)$ et $z(t)$ sont, respectivement, solutions du système perturbé et du système moyen, avec comme conditions initiales x_0 et z_0 telles que $\|x_0 - z_0\| = O(\varepsilon)$, alors $\|x(t) - z(t)\| = O(\varepsilon)$ sur un intervalle de temps de l'ordre de $1/\varepsilon$.
- Si \bar{z} est un point fixe hyperbolique du système moyen, alors il existe $\bar{\varepsilon} > 0$ tel que, pour tout $\varepsilon \in]0, \bar{\varepsilon}]$, le système perturbé admette une unique orbite périodique hyperbolique $\gamma_\varepsilon(t)$, proche de \bar{z} , $\gamma_\varepsilon(t) = \bar{z} + O(\varepsilon)$, qui peut être réduite à un point, et dont la stabilité est du même type que celle de \bar{z} ¹. En particulier, si \bar{z} est asymptotiquement stable, alors γ_ε est aussi asymptotiquement stable et l'approximation, à $O(\varepsilon)$ près, des trajectoires du système perturbé par celles du système moyen devient valable pour $t \in [0, +\infty[$.

¹Le nombre des multiplicateurs caractéristiques de γ_ε de module strictement inférieur (resp. supérieur) à 1 est égal au nombre d'exposants caractéristiques de \bar{z} à partie réelle < 0 (resp. > 0).

Boucle à verrouillage de phase (PLL)



La quantité $\omega_0(1 - \epsilon kx)$ est une estimation filtrée de la fréquence $\frac{d}{dt}\theta$ du signal d'entrée v qui peut être très fortement bruité et dont l'amplitude a n'est pas connue.

$$\frac{d}{dt}x = \epsilon k_f \omega_0 (v(t) \sin \phi - x), \quad \frac{d}{dt}\phi = \omega_0 (1 - \epsilon kx)$$

où ϵ est un petit paramètre positif, k_f et k deux gains positifs. On pose $v(t) = a \cos \theta$ avec $\frac{d}{dt}\theta = \omega_0(1 + \epsilon p)$ où $a > 0$ et p sont des paramètres inconnus mais constants (voir simulation [Scilab/Scicos](#)).

Comme $2 \cos \theta \sin \phi = \sin(\phi - \theta) + \sin(\phi + \theta)$, avec $\Delta = \phi - \theta$ et $\sigma = \phi + \theta$, le système

$$\frac{d}{dt}x = \epsilon k_f \omega_0 (a \cos \theta \sin \phi - x), \quad \frac{d}{dt}\phi = \omega_0(1 - \epsilon kx), \quad \frac{d}{dt}\theta = \omega_0(1 + \epsilon p)$$

devient dans l'échelle de temps σ ($\frac{d}{dt}\sigma = \omega_0(2 + \epsilon(p - kx))$)

$$\frac{d}{d\sigma}x = \epsilon k_f \frac{\frac{a}{2} \sin \Delta + \frac{a}{2} \sin \sigma - x}{2 + \epsilon(p - kx)}, \quad \frac{d}{d\sigma}\Delta = -\epsilon \frac{p + kx}{2 + \epsilon(p - kx)}.$$

Le système moyen est

$$\frac{d}{d\sigma}x = \epsilon k_f \frac{\frac{a}{2} \sin \Delta - x}{2 + \epsilon(p - kx)}, \quad \frac{d}{d\sigma}\Delta = -\epsilon \frac{p + kx}{2 + \epsilon(p - kx)}.$$

On néglige des termes d'ordre 2 en ϵ et on prend comme système moyen :

$$\frac{d}{d\sigma}x = \frac{\epsilon k_f}{2} \left(\frac{a}{2} \sin \Delta - x \right), \quad \frac{d}{d\sigma}\Delta = -\frac{\epsilon}{2} (p + kx).$$

Ce système s'écrit aussi sous la forme d'une seule équation du second ordre avec $\sigma/\varsigma = \epsilon\sqrt{k_f ka/8}$

$$\frac{d^2}{d\varsigma^2}\Delta = -\sqrt{\frac{2k_f}{ka}} \frac{d}{d\varsigma}\Delta - \left(\sin \Delta - \frac{2p}{ak} \right).$$

On choisit le **gain k assez grand** pour que $\left| \frac{2p}{ak} \right| < 1$. Ainsi on pose $\sin \bar{\Delta} = \frac{2p}{ak}$ avec $\bar{\Delta} \in] -\frac{\pi}{2}, \frac{\pi}{2}[$. Ce système admet donc **deux points d'équilibre** (angle défini à 2π près) :

- $\Delta = \pi - \bar{\Delta} \pmod{2\pi}$ est un **col** (deux valeurs propres réelles de signes opposés)
- $\Delta = \bar{\Delta} \pmod{2\pi}$ est **localement asymptotiquement stable** (deux valeurs propres à partie réelle strictement négative).

$\frac{d^2}{d\sigma^2} \Delta = -\sqrt{\frac{2k_f}{ka}} \frac{d}{d\sigma} \Delta - \left(\sin \Delta - \frac{2p}{ak} \right)$ avec Δ dans le cercle unité \mathbb{S}^1

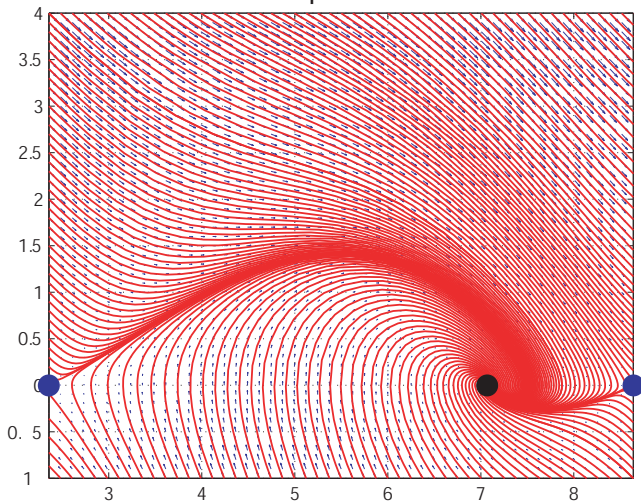
(système du premier ordre sur le cylindre $(\Delta, \frac{d\Delta}{d\sigma}) \in \mathbb{S}^1 \times \mathbb{R}$). On reprend en partie les arguments utilisés pour le PI avec anti-emballlement :

- Le calcul de la **divergence du champ de vecteur** dans les coordonnées $(\Delta, \Omega = \frac{d\Delta}{d\sigma})$ donne $-\sqrt{\frac{2k_f}{ka}} < 0$. Les **trajectoires sont bornées** dans le cylindre (la vitesse est bornée).
- Ainsi, il ne peut y avoir **au plus qu'une seule orbite périodique** et de plus elle fait un tour autour du cylindre.
- Pour k et k_f assez grands, on a deux points d'équilibre et on n'a pas d'orbite périodique (**bifurcation globale** fondée sur l'espace rentrant du col $\pi - \bar{\Delta}$ qui en se confondant avec l'espace sortant (orbite homocline) détruit un cycle limite).

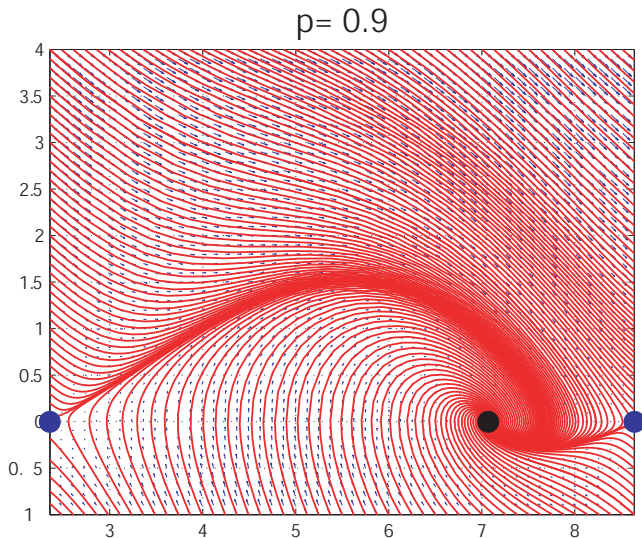
En résumé : pour k et k_f assez grands $\Delta = \phi - \theta$ converge vers une constante (le point $\bar{\Delta}$: c'est le **verrouillage de phase**).

Bifurcation globale $\frac{d^2}{dt^2} \Delta = -p \frac{d}{dt} \Delta - \sin \Delta + \frac{1}{\sqrt{2}}$

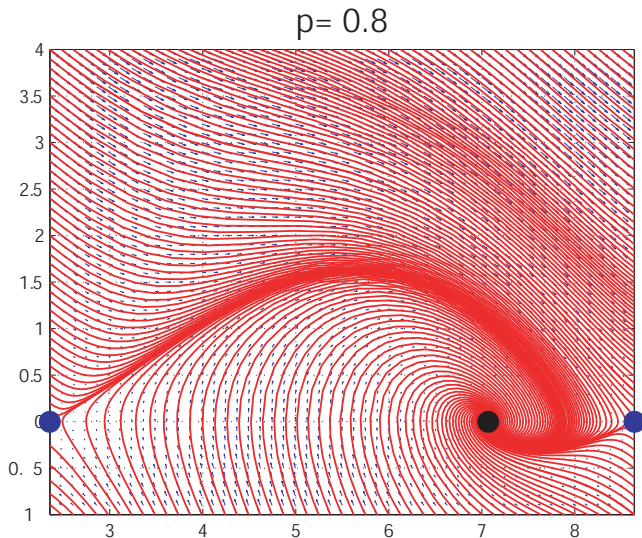
$p=1$



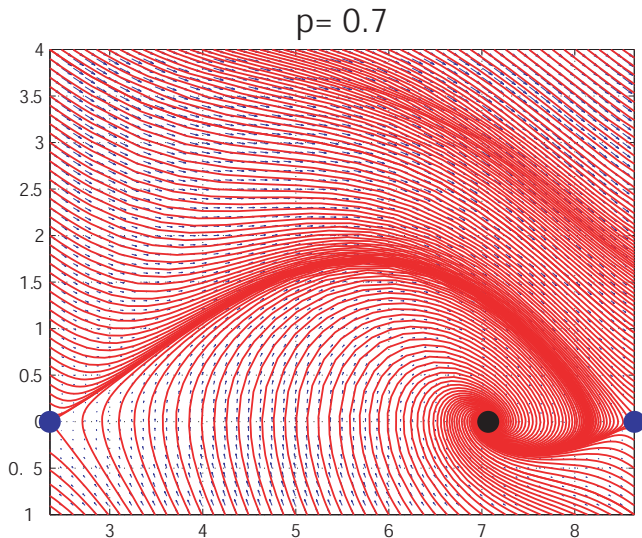
Un seul régime asymptotique : équilibre



Un seul régime asymptotique : équilibre

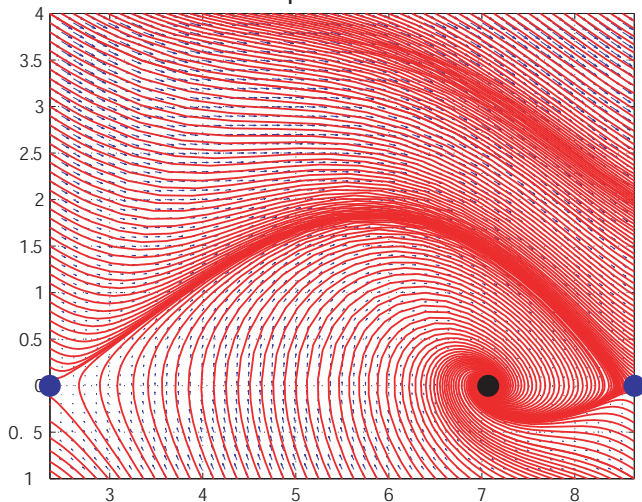


Un seul régime asymptotique : équilibre

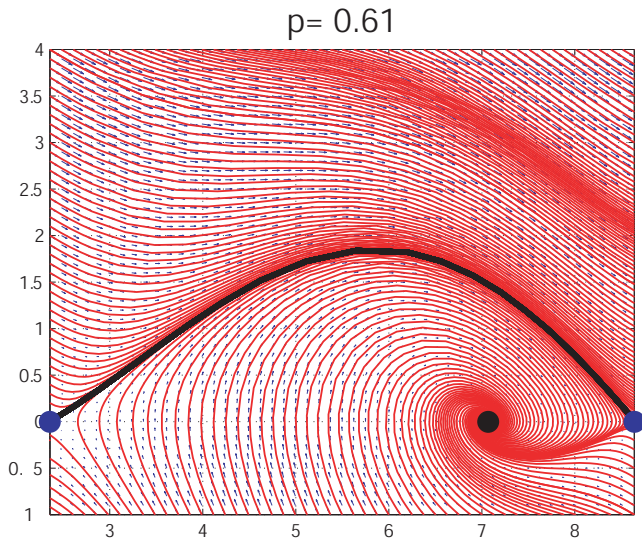


Un seul régime asymptotique : équilibre

$p = 0.63$

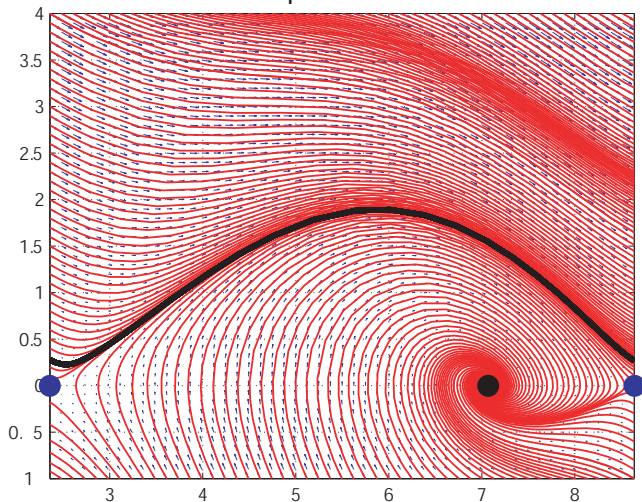


Bifurcation globale : un cycle limite apparaît (orbite homocline)

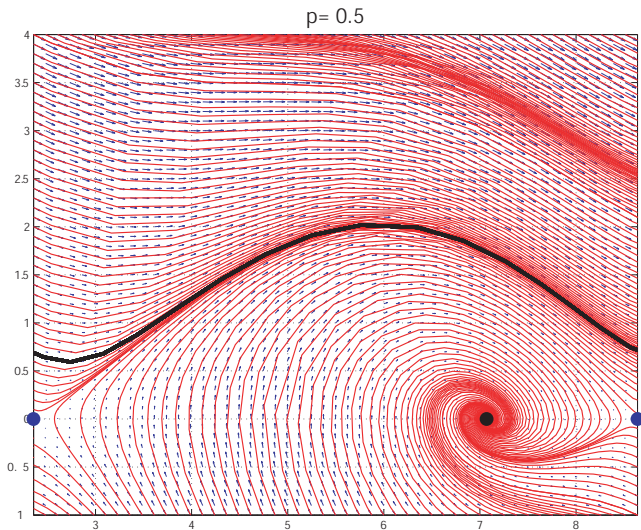


Deux régimes asymptotiques : cycle limite ou équilibre

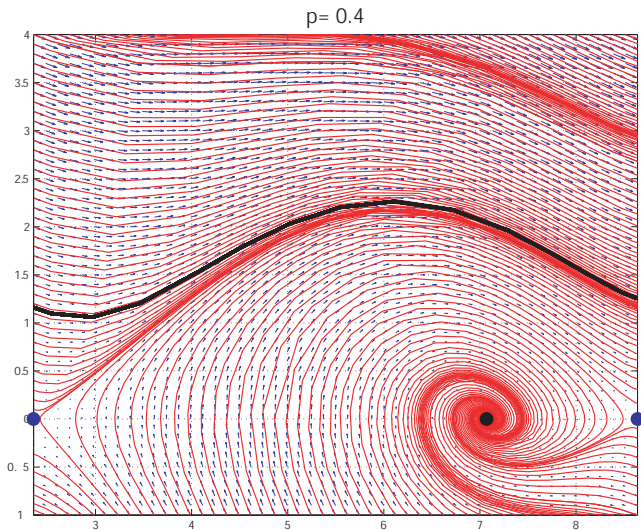
$p = 0.58$



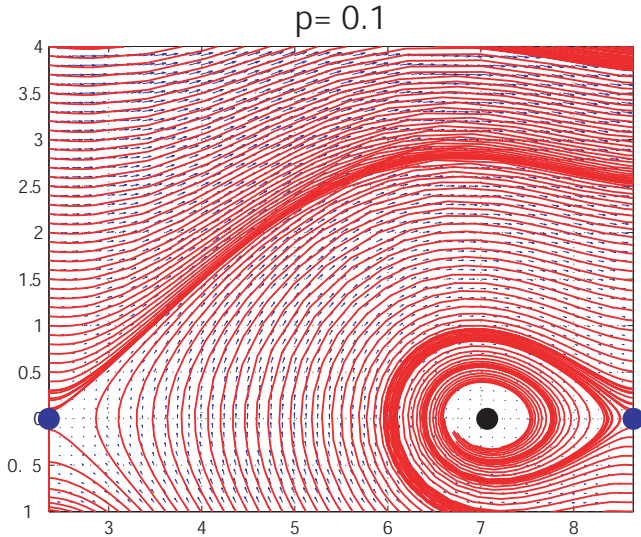
Deux régimes asymptotiques : cycle limite ou équilibre



Deux régimes asymptotiques : cycle limite ou équilibre



Deux régimes asymptotiques : cycle limite ou équilibre



Systèmes complexes : systèmes dynamiques non-linéaires de petite dimension et cependant avec des comportements très variés ; **le global est souvent très différent du local.**

- **PI avec "anti-windup", système plan et Poincaré/Bendixon** : importance de l'étude qualitative des solutions d'équations différentielles ordinaires.
- **Systèmes lents/rapides et approximation quasi-statique** : décomposition en diverses échelles, cascades de régulateurs et contrôle hiérarchisé.
- **Moyennisation, synchronisation d'oscillateurs et PLL** : bifurcation globale explique le petit bassin d'attraction d'une PLL en général (récepteurs GPS avec des réseaux de PLL).

Références systèmes dynamiques et contrôle

- **la BD des systèmes dynamiques en 4 volumes** : R.H. Abraham and C.D. Shaw. Dynamics – The Geometry of Behavior : I-IV. Aerial Press, Santa Cruz, California, 1981.
- **EDO, systèmes plans, et contrôle (très pédagogique et pourtant d'un excellent niveau)** A. Andronov, S. Khaikin and A. Vitt : Theory of Oscillators. Dover (English Translation), 1987.
- *Systemes dynamiques (très bonne introduction aux EDO)* V. Arnold : Equations différentielles ordinaires. Mir Moscou, 1974.
- *Bifurcation et théorie de perturbation et KAM (très avancé)* V. Arnold : Chapitres Supplémentaires de la Théorie des Equations Différentielles Ordinaires. Mir Moscou, 1980.
- *Idem ci-dessus* : J. Guckenheimer and P. Holmes : Nonlinear Oscillations, Dynamical Systems and Bifurcations of Vector Fields. Springer, New York, 1983.
- *Contrôle non linéaire (théorie)* : H. Khalil : Nonlinear Systems. MacMillan, 1992.